

1 坐标描述和变换
• 向量: r_{0,p} = (X_A Y_A Z_A)(d_x d_y d_z)^T, 简捷法为 A^D = (d_x d_y d_z)^T
• 向量的内积 (数量积): A^P \cdot A^Q = A^P T A^Q = p_x q_x + p_y q_y + p_z q_z
• 外积 (向量积): P \times Q = \begin{bmatrix} p_x \\ p_y \\ p_z \end{bmatrix} \times \begin{bmatrix} q_x \\ q_y \\ q_z \end{bmatrix} = \begin{bmatrix} 0 & -p_z & p_y \\ p_z & 0 & -p_x \\ -p_y & p_x & 0 \end{bmatrix} \begin{bmatrix} q_x \\ q_y \\ q_z \end{bmatrix} 或 \begin{bmatrix} i & j & k \\ p_x & p_y & p_z \\ q_x & q_y & q_z \end{bmatrix}

性质: a \times b = -(b \times a); a: (b \times c) = b: (-c \times a) = c: (a \times b);
a \times (b \times c) = b(a \cdot c) - c(a \cdot b)
• 旋转矩阵: 全体旋转矩阵的集合 (6 个约束) SO(3) = \{ \begin{bmatrix} r_{11} & r_{12} & r_{13} \\ r_{21} & r_{22} & r_{23} \\ r_{31} & r_{32} & r_{33} \end{bmatrix} \in \mathbb{R}^{3 \times 3} | \begin{bmatrix} r_{11} & r_{12} & r_{13} \\ r_{21} & r_{22} & r_{23} \\ r_{31} & r_{32} & r_{33} \end{bmatrix}^T \begin{bmatrix} r_{11} & r_{12} & r_{13} \\ r_{21} & r_{22} & r_{23} \\ r_{31} & r_{32} & r_{33} \end{bmatrix} = I, \begin{bmatrix} r_{11} & r_{12} & r_{13} \\ r_{21} & r_{22} & r_{23} \\ r_{31} & r_{32} & r_{33} \end{bmatrix}^T \begin{bmatrix} r_{11} & r_{12} & r_{13} \\ r_{21} & r_{22} & r_{23} \\ r_{31} & r_{32} & r_{33} \end{bmatrix} = I, \begin{bmatrix} r_{11} & r_{12} & r_{13} \\ r_{21} & r_{22} & r_{23} \\ r_{31} & r_{32} & r_{33} \end{bmatrix}^T \begin{bmatrix} r_{11} & r_{12} & r_{13} \\ r_{21} & r_{22} & r_{23} \\ r_{31} & r_{32} & r_{33} \end{bmatrix} = I \}

对于任何 R \in SO(3), P \in \mathbb{R}^3, Q \in \mathbb{R}^3, 有 R(P \times Q) = RP \times RQ
\hat{A}R = [\hat{A}]_B^B A_B^B, [\hat{X}_B^B Y_B^B Z_B^B] = p_x p_y p_z, q_x q_y q_z
性质: R^{-1} = R^T, \hat{R}^T = \hat{R}^{-1} = \hat{R}^T, \hat{R}_0 = -\hat{R}^T A_0 B
• 齐次变换矩阵: \hat{g}_T^0 = \begin{bmatrix} R & B \\ 0 & 1 \end{bmatrix} = \begin{bmatrix} \hat{g}_R^T & -\hat{g}_R^T A_0 B \\ 0 & 1 \end{bmatrix} = \hat{g}_T^{-1}

点在两参考系中的描述: \hat{A}^P = A_0 B + \hat{A}^R B^P, \begin{bmatrix} A^P \\ 1 \end{bmatrix} = \begin{bmatrix} A^R & A_0 B \\ 0 & 1 \end{bmatrix} \begin{bmatrix} B^P \\ 1 \end{bmatrix} = \hat{g}_T^0 \begin{bmatrix} B^P \\ 1 \end{bmatrix}
链乘法则: \hat{A}^R = \hat{A}^R R_3 \dots \hat{A}^R R_1, \hat{A}^T = \hat{A}^T T_3 \dots \hat{A}^T T_1
• 欧拉角 (右乘联体): R_x = \begin{bmatrix} 1 & 0 & 0 \\ 0 & c & -s \\ 0 & s & c \end{bmatrix}, R_y = \begin{bmatrix} c & 0 & s \\ 0 & 1 & 0 \\ -s & 0 & c \end{bmatrix}, R_z = \begin{bmatrix} c & -s & 0 \\ s & c & 0 \\ 0 & 0 & 1 \end{bmatrix}

共有 12 种表示法, 6 种对称型+6 种非对称型, 常用的两种如下
R_{x'y'z'}(\alpha, \beta, \gamma) = R_x(\alpha)R_y(\beta)R_z(\gamma) = \begin{bmatrix} c_\alpha c_\beta c_\gamma - s_\alpha c_\beta s_\gamma & s_\alpha c_\beta c_\gamma + c_\alpha c_\beta s_\gamma & s_\alpha c_\beta s_\gamma - c_\alpha c_\beta c_\gamma \\ -s_\beta & c_\beta s_\gamma & c_\beta c_\gamma \\ c_\alpha c_\beta c_\gamma - s_\alpha c_\beta s_\gamma & -c_\alpha c_\beta s_\gamma - s_\alpha c_\beta c_\gamma & c_\alpha c_\beta s_\gamma + s_\alpha c_\beta c_\gamma \\ s_\alpha c_\beta c_\gamma + c_\alpha c_\beta s_\gamma & -s_\alpha c_\beta s_\gamma + c_\alpha c_\beta c_\gamma & s_\alpha c_\beta s_\gamma - c_\alpha c_\beta c_\gamma \end{bmatrix}
R_{x'y'z'}(\alpha, \beta, \gamma) = R_x(\alpha)R_y(\beta)R_z(\gamma) = \begin{bmatrix} c_\alpha c_\beta c_\gamma - s_\alpha c_\beta s_\gamma & s_\alpha c_\beta c_\gamma + c_\alpha c_\beta s_\gamma & s_\alpha c_\beta s_\gamma - c_\alpha c_\beta c_\gamma \\ -s_\beta & c_\beta s_\gamma & c_\beta c_\gamma \\ c_\alpha c_\beta c_\gamma - s_\alpha c_\beta s_\gamma & -c_\alpha c_\beta s_\gamma - s_\alpha c_\beta c_\gamma & c_\alpha c_\beta s_\gamma + s_\alpha c_\beta c_\gamma \\ s_\alpha c_\beta c_\gamma + c_\alpha c_\beta s_\gamma & -s_\alpha c_\beta s_\gamma + c_\alpha c_\beta c_\gamma & s_\alpha c_\beta s_\gamma - c_\alpha c_\beta c_\gamma \end{bmatrix}

• 固定角 (左乘基): 同 12 种, R_{xyz}(\gamma, \beta, \alpha) = R_{x'y'z'}(\alpha, \beta, \gamma) = R_x(\alpha)R_y(\beta)R_z(\gamma)
• 旋转矩阵 \rightarrow z_{yx} 欧拉角或 xyz 固定角
规定 z-y-x 欧拉角或 x-y-z 固定角 (\alpha, \beta, \gamma) \in (-\pi, \pi] \times [-\pi/2, \pi/2] \times (-\pi, \pi]
\beta = \arctan2(-r_{31}, \sqrt{r_{32}^2 + r_{33}^2}), \alpha = \arctan2(r_{21}, r_{11})
\cos \beta > 0, \beta = \pi/2, \beta = -\pi/2
\alpha = \arctan2(r_{21}, r_{11}), \alpha - \gamma = \arctan2(r_{23}, r_{22}), \alpha + \gamma = \arctan2(-r_{23}, r_{22})
\gamma = \arctan2(r_{32}, r_{33})

非对称型欧拉角或固定角的 \beta 可限 [-\pi/2, \pi/2], 对称型的 \beta 可限 [0, \pi]
【例】R_z(\pm\pi + \alpha)R_y(\pm\pi - \beta)R_x(\pm\pi + \gamma) = R_x(\alpha)R_y(\beta)R_z(\gamma)
R_z(\pm\pi + \alpha)R_y(-\beta)R_x(\pm\pi + \gamma) = R_x(\alpha)R_y(\beta)R_z(\gamma)
• 等效轴角描述: \begin{bmatrix} k_x^2 v_0 + c_0 & k_x k_y v_0 - k_x s_0 & k_x k_z v_0 + k_y s_0 \\ k_x k_y v_0 + c_0 & k_y^2 v_0 + c_0 & k_y k_z v_0 - k_x s_0 \\ k_x k_z v_0 - k_y s_0 & k_y k_z v_0 + k_x s_0 & k_z^2 v_0 + c_0 \end{bmatrix} = R_x(\theta)

R_K(\theta) = R_{-K}(-\theta), 所以规定 \theta \in [0, \pi], \theta = \arccos((r_{11} + r_{22} + r_{33} - 1)/2)
\theta \in (0, \pi), \theta = \pi, \theta = 0
\begin{pmatrix} k_x \\ k_y \\ k_z \end{pmatrix} = \frac{1}{2 \sin \theta} \begin{pmatrix} r_{32} - r_{23} \\ r_{13} - r_{31} \\ r_{21} - r_{12} \end{pmatrix} \begin{pmatrix} k_x \\ k_y \\ k_z \end{pmatrix} = \pm \begin{pmatrix} \sqrt{(r_{11} + 1)/2} \\ r_{12}/\sqrt{2(r_{11} + 1)} \\ r_{13}/\sqrt{2(r_{11} + 1)} \end{pmatrix} 任意单位向量

【例】\hat{K} 转 \hat{K}: \hat{g}_R(1) = R_K(\theta) \hat{g}_R(0), \hat{K} 转 \hat{K}: \hat{g}_R(1) = \hat{g}_R(0) R_K(\theta)
若 R 是先平移后旋转, 左乘 T 是先旋转后平移, 左乘旋转可能会产生平移
• 四元数: i^2 = j^2 = k^2 = -1, ij = k, ji = -k, jk = i, kj = -i, ki = j, ik = -j
乘法: \hat{r} = (\eta + i\epsilon_1 + j\epsilon_2 + k\epsilon_3) = (\eta + i\epsilon_1 + j\epsilon_2 + k\epsilon_3) = (\eta\xi - \epsilon_1\delta_1 - \epsilon_2\delta_2 - \epsilon_3\delta_3) + i(\eta\delta_1 + \epsilon_1\xi - \epsilon_2\delta_3) + j(\eta\delta_2 + \epsilon_1\delta_3 + \epsilon_2\xi) + k(\eta\delta_3 + \epsilon_1\delta_2 + \epsilon_2\delta_1 + \epsilon_3\xi)
如果相乘等于 \hat{r}_1 + i\epsilon_1 + j\epsilon_2 + k\epsilon_3, 可证得 R_K(\hat{r})R_K(\hat{s}) = R_K(\hat{r}\hat{s})
共轭: (\eta + i\epsilon_1 + j\epsilon_2 + k\epsilon_3)^* = \eta - i\epsilon_1 - j\epsilon_2 - k\epsilon_3, A_0 B = 0 时 \hat{A}^0 R^0 P, 可写为 i\epsilon_2 + j\epsilon_3 + k\epsilon_3 = (\eta + i\epsilon_1 + j\epsilon_2 + k\epsilon_3)(\eta\xi + i\epsilon_1 + j\epsilon_2 + k\epsilon_3)
模长: |\eta + i\epsilon_1 + j\epsilon_2 + k\epsilon_3| = \sqrt{\eta^2 + \epsilon_1^2 + \epsilon_2^2 + \epsilon_3^2}, 为 1 即为单位四元数

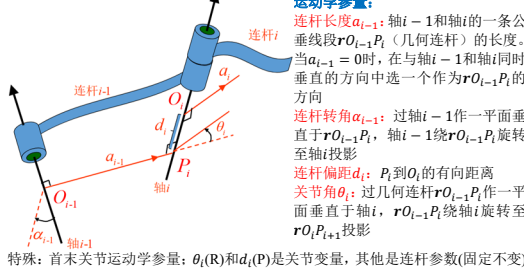
单位四元数的乘积仍是单位四元数, 单位四元数的逆是其共轭
• 单位四元数 \rightarrow 姿态: R_K(\eta) = \begin{pmatrix} 2(\eta^2 + \epsilon_1^2) - 1 & 2(\epsilon_1\epsilon_2 - \eta\epsilon_3) & 2(\epsilon_1\epsilon_3 + \eta\epsilon_2) \\ 2(\epsilon_1\epsilon_2 + \eta\epsilon_3) & 2(\eta^2 + \epsilon_2^2) - 1 & 2(\epsilon_2\epsilon_3 - \eta\epsilon_1) \\ 2(\epsilon_1\epsilon_3 - \eta\epsilon_2) & 2(\epsilon_2\epsilon_3 + \eta\epsilon_1) & 2(\eta^2 + \epsilon_3^2) - 1 \end{pmatrix}
\sqrt{r_{11} + r_{22} + r_{33} + 1}

当 r_{11} + r_{22} + r_{33} > -1 时, \begin{pmatrix} \eta \\ \epsilon_1 \\ \epsilon_2 \\ \epsilon_3 \end{pmatrix} = \pm \frac{1}{2} \begin{pmatrix} \text{sgn}(r_{32} - r_{23})\sqrt{r_{11} - r_{22} - r_{33} + 1} \\ \text{sgn}(r_{13} - r_{31})\sqrt{r_{11} - r_{22} - r_{33} + 1} \\ \text{sgn}(r_{21} - r_{12})\sqrt{r_{11} - r_{22} - r_{33} + 1} \end{pmatrix}

• 欧拉参数 (\eta \ \epsilon_1 \ \epsilon_2 \ \epsilon_3)^T: 等效轴角 \rightarrow \eta = \cos \frac{\theta}{2}, \epsilon = \begin{pmatrix} \epsilon_1 \\ \epsilon_2 \\ \epsilon_3 \end{pmatrix} = \begin{pmatrix} k_x \sin \frac{\theta}{2} \\ k_y \sin \frac{\theta}{2} \\ k_z \sin \frac{\theta}{2} \end{pmatrix}

格拉斯曼积: \begin{bmatrix} \eta \\ \epsilon \end{bmatrix} \otimes \begin{bmatrix} \xi \\ \delta \end{bmatrix} = \begin{bmatrix} \eta\xi - \epsilon^T \delta \\ \eta\delta + \epsilon \times \delta \end{bmatrix} = \begin{bmatrix} \epsilon_1 & -\epsilon_1 & -\epsilon_2 & -\epsilon_3 \\ \epsilon_2 & \epsilon_3 & \eta & -\epsilon_1 \\ \epsilon_3 & -\epsilon_2 & \epsilon_1 & \eta \end{bmatrix} \begin{bmatrix} \xi_1 \\ \delta_1 \\ \delta_2 \\ \delta_3 \end{bmatrix} = A \begin{bmatrix} \xi_1 \\ \delta_1 \\ \delta_2 \\ \delta_3 \end{bmatrix}

如果是单位四元数则 A^T A = I; H 中的乘法相当于 R^4 中的 Grassmann 积, U 中任意两个向量的 Grassmann 积仍是 U 中的向量, U 中的 Grassmann 积相当于 SO(3) 中的乘法, 欧拉参数可用其在 U 中直接描述 3 维姿态和坐标系旋转
3 机器人正运动学 (关节空间 \rightarrow 笛卡尔空间)
• 串联机构: 多个连杆通过关节以串联形式连成首尾不封闭的结构
固定基座为连杆 0, 连杆 N-1 与连杆 N 通过关节 N 连接
为确定末端执行器在三维空间中的位姿, 串联机器人至少需要 6 个关节



特殊: 首末关节运动学参数: \theta_i(R) 和 d_i(P) 是关节变量, 其他是连杆参数 (固定不变)
【例】RPR 机器人建系示例:
\begin{matrix} i & \alpha_{i-1} & a_{i-1} & d_i & \theta_i \\ 1 & 0 & 0 & 0 & \theta_1 \\ 2 & -\frac{\pi}{2} & 0 & d_2 & -\frac{\pi}{2} \\ 3 & -\frac{\pi}{2} & 0 & 0 & \theta_3 \end{matrix}

公线段长度的求法: 已知机器人相邻两关节轴线的方向 \vec{a} 和 \vec{b}, 求这两个关节之间连杆的长度 L (即 \vec{a} 和 \vec{b} 公线段的长度): ① 求 \vec{c} = \vec{a} \times \vec{b}, 即求得 \vec{a} 和 \vec{b} 公垂线所在方向; ② 两轴线上各取一点 O_1 和 O_2, 连接得到向量 \vec{r}_{O_1 O_2}; ③ 求 \vec{r}_{O_1 O_2} 在 \vec{c} 方向上的投影长度: L = \frac{|\vec{r}_{O_1 O_2} \cdot \vec{c}|}{|\vec{c}|}

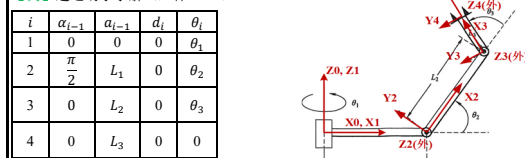
• 相邻连杆连体坐标系的变换: (非标准 D-H 方法的运动学参量表不唯一)
① \{i-1\} 变换到 \{i\}: 沿 X_{i-1} 转 \alpha_{i-1} \rightarrow 绕 X_i 转 \alpha_{i-1} \rightarrow 沿 Z_i 移 d_i \rightarrow 绕 Z_i 转 \theta_i

t^{-1}T(\Phi_i) = \begin{pmatrix} 1 & 0 & 0 & a_{i-1} & c\theta_i & -s\theta_i & 0 & 0 \\ 0 & c\alpha_{i-1} & -s\alpha_{i-1} & 0 & s\theta_i & c\theta_i & 0 & 0 \\ 0 & s\alpha_{i-1} & c\alpha_{i-1} & 0 & 0 & 0 & 1 & d_i \\ 0 & 0 & 0 & 1 & 0 & 0 & 0 & 1 \end{pmatrix}

两系平行时, 可以用和角公式处理
4 机器人逆运动学 (笛卡尔空间 \rightarrow 关节空间)
• 工作空间: 灵巧工作空间 (能以任何姿态); 可达工作空间 (能以至少一姿态)
灵巧是可达的子集; 操作臂自由度数 \ge 6 时, 三维空间内不能到达全部位姿; 若目标在灵巧内, 则 IK 解存在; 若不在可达内, 则 IK 解不存在
• IK 求解: 封闭解 (解析解), 含代数解和几何解; 数值解是迭代求解, 速度较慢
6 自由度操作臂存在封闭解的特性: 存在几个正交关节轴或多个 \alpha_i 为 0 或 \pm 90^\circ

6 旋转关节操作臂存在封闭解的充分条件: 相邻的三关节轴线相交于一点
• 三轴相交的 PIERPER 解法: PIERPER 研究了 3 个相邻的轴交于一点的 6 自由度操作臂 (包括 3 个相邻的轴平行的情况)。PIERPER 的方法主要针对 6 个关节均为旋转关节的操作臂, 且后面 3 个轴正交。
求解 k_1 c_0 + k_2 s_0 = 1 的方法: 令 r = \sqrt{a^2 + b^2}, \gamma = \arctan2(k_2, k_1), 有 k_1 = r \cos \gamma, k_2 = r \sin \gamma, 故 c_0 = \sin \gamma, s_0 = \cos(\gamma - \theta) = l/r

【例】逆运动学求解 (立体 RRR)
\begin{matrix} i & \alpha_{i-1} & a_{i-1} & d_i & \theta_i \\ 1 & 0 & 0 & 0 & \theta_1 \\ 2 & \frac{\pi}{2} & L_1 & 0 & \theta_2 \\ 3 & 0 & L_2 & 0 & \theta_3 \\ 4 & 0 & L_3 & 0 & 0 \end{matrix}



\hat{g}_T^0 = \begin{bmatrix} c_1 & -s_1 & 0 & 0 \\ s_1 & c_1 & 0 & 0 \\ 0 & 0 & 1 & 0 \\ 0 & 0 & 0 & 1 \end{bmatrix}, \hat{g}_T^1 = \begin{bmatrix} c_2 & -s_2 & 0 & L_1 \\ s_2 & c_2 & 0 & 0 \\ 0 & 0 & 1 & 0 \\ 0 & 0 & 0 & 1 \end{bmatrix}, \hat{g}_T^2 = \begin{bmatrix} c_3 & -s_3 & 0 & L_2 \\ s_3 & c_3 & 0 & 0 \\ 0 & 0 & 1 & 0 \\ 0 & 0 & 0 & 1 \end{bmatrix}, \hat{g}_T^3 = \begin{bmatrix} c_4 & -s_4 & 0 & L_3 \\ s_4 & c_4 & 0 & 0 \\ 0 & 0 & 1 & 0 \\ 0 & 0 & 0 & 1 \end{bmatrix}

\begin{bmatrix} 1 & 0 & 0 & L_3 \\ 0 & 1 & 0 & 0 \\ 0 & 0 & 1 & 0 \\ 0 & 0 & 0 & 1 \end{bmatrix} \hat{g}_T^3 = \hat{g}_T^2 \hat{g}_T^3 \hat{g}_T^2: \hat{g}_T^2 = \hat{g}_T^1 \hat{g}_T^2 \hat{g}_T^1 \Rightarrow (\hat{g}_T^1)^{-1} \hat{g}_T^2 = \hat{g}_T^1 \Rightarrow \begin{bmatrix} c_1 & -s_1 & 0 & 0 \\ s_1 & c_1 & 0 & 0 \\ 0 & 0 & 1 & 0 \\ 0 & 0 & 0 & 1 \end{bmatrix} \begin{bmatrix} r_{11} & r_{12} & r_{13} & p_x \\ r_{21} & r_{22} & r_{23} & p_y \\ r_{31} & r_{32} & r_{33} & p_z \\ 1 & 1 & 1 & 1 \end{bmatrix} = \begin{bmatrix} c_{23} & -s_{23} & 0 & L_2 c_2 + L_1 + L_3 c_{23} \\ s_{23} & c_{23} & 0 & L_2 s_2 + L_3 s_{23} \\ 0 & 0 & 1 & 1 \\ 0 & 0 & 0 & 1 \end{bmatrix}

等式两边 (2,4) 元素相等 \rightarrow -s_2 p_x + c_1 p_y = 0 \Rightarrow \theta_1 = \arctan2(p_y, p_x)
(1,4), (3,4) 元素相等 \Rightarrow \begin{bmatrix} c_1 p_x + s_1 p_y = L_1 + L_2 c_2 + L_3 c_{23} \\ p_x = L_2 s_2 + L_3 s_{23} \end{bmatrix} \Rightarrow \begin{bmatrix} c_1 p_x + s_1 p_y - L_1 \\ p_x - L_2 s_2 - L_3 s_{23} \end{bmatrix} = \begin{bmatrix} c_3 \\ s_3 \end{bmatrix} \Rightarrow \begin{bmatrix} c_3 \\ s_3 \end{bmatrix} = \begin{bmatrix} c_1 p_x + s_1 p_y - L_1 \\ p_x - L_2 s_2 - L_3 s_{23} \end{bmatrix}

p_z^2 = (L_2 c_2 + L_3 c_{23})^2 + (L_2 s_2 + L_3 s_{23})^2 = L_2^2 + L_3^2 + 2L_2 L_3 c_3 \Rightarrow c_3 = \frac{c_1 p_x + s_1 p_y - L_1}{L_2 + L_3}
\theta_3 = \arctan2(s_3, c_3)
\theta_2 = \arctan2(s_{23}, c_{23}) = \arctan2(r_{32}, r_{33}) \Rightarrow \theta_2 = \arctan2(r_{31}, r_{32}) - \theta_3

5 微分运动学与静力学
• \hat{B}V_0 = \frac{d}{dt} \hat{B}Q, \hat{A}(\hat{B}V_0) = \hat{g}_R^0 \hat{B}V_0 \Rightarrow \hat{A}V_0
v_C = \hat{A}V_{CORG}, \hat{A}V_C = \hat{g}_R^0 \hat{B}V_C = \hat{g}_R^0 \hat{A}V_{CORG} \neq \hat{A}V_{CORG}, \hat{C}V_C = \hat{g}_R^0 \hat{A}V_{CORG}; \omega_C 同理
• 刚体纯平移时线速度变化: 坐标系间有线速度, \hat{A}V_0 = \hat{A}V_{BORC} + \hat{g}_R^0 \hat{B}V_0
\hat{B} 为正交阵 (RR^T = I_N) \Rightarrow 求得 \hat{S} + \hat{S}^T = 0, 其中 \hat{S} = \hat{R}^T \hat{A} \hat{S} P, \hat{A} \hat{S} P = \hat{A} \Omega_B \times P
• 刚体一般运动时的线速度变化: \hat{A}V_0 = \hat{A}V_{BORC} + \hat{g}_R^0 \hat{B}V_0 + \hat{A} \Omega_B \times \hat{g}_R^0 P

\hat{P}^A = \begin{pmatrix} p_x \\ p_y \\ p_z \end{pmatrix} = \begin{pmatrix} 0 & -p_z & p_x \\ p_z & 0 & -p_y \\ -p_y & p_x & 0 \end{pmatrix} \begin{pmatrix} P^A \\ Q^A \end{pmatrix} = \hat{P}^A \begin{pmatrix} P^A \\ Q^A \end{pmatrix} = \hat{P}^A + \hat{Q}^A
• 运动坐标系之间的角速度向量关系: \hat{A}\Omega_C = \hat{A}\Omega_B + \hat{g}_R^0 \hat{B}\Omega_C
• 连杆间的速度传递:
\begin{matrix} \text{关节 } i+1 & \text{转动型} & \text{平动型} \\ \begin{bmatrix} i+1 \\ i+1 \end{bmatrix} \begin{bmatrix} \omega_i \\ \theta_{i+1} \end{bmatrix} + \begin{bmatrix} i+1 \\ i+1 \end{bmatrix} \begin{bmatrix} \dot{\theta}_{i+1} \\ 0 \end{bmatrix} & \begin{bmatrix} i+1 \\ i+1 \end{bmatrix} \begin{bmatrix} \omega_i \\ \theta_{i+1} \end{bmatrix} & \begin{bmatrix} i+1 \\ i+1 \end{bmatrix} \begin{bmatrix} \omega_i \\ \theta_{i+1} \end{bmatrix} \\ \begin{bmatrix} i+1 \\ i+1 \end{bmatrix} \begin{bmatrix} v_i \\ \omega_i \end{bmatrix} + \begin{bmatrix} i+1 \\ i+1 \end{bmatrix} \begin{bmatrix} p_{i+1} \\ 0 \end{bmatrix} & \begin{bmatrix} i+1 \\ i+1 \end{bmatrix} \begin{bmatrix} v_i \\ \omega_i \end{bmatrix} + \begin{bmatrix} i+1 \\ i+1 \end{bmatrix} \begin{bmatrix} p_{i+1} \\ 0 \end{bmatrix} & \begin{bmatrix} i+1 \\ i+1 \end{bmatrix} \begin{bmatrix} v_i \\ \omega_i \end{bmatrix} + \begin{bmatrix} i+1 \\ i+1 \end{bmatrix} \begin{bmatrix} p_{i+1} \\ 0 \end{bmatrix} \end{matrix}

• 连杆间的力传递: f_i = 连杆 i-1 施加在连杆 i 上的力, n_i = 连杆 i-1 施加在连杆 i 上的力矩
\hat{F}_i = \begin{bmatrix} f_i \\ n_i \end{bmatrix} = \begin{bmatrix} i+1 \\ i+1 \end{bmatrix} \begin{bmatrix} f_{i+1} \\ n_{i+1} \end{bmatrix} + \begin{bmatrix} i+1 \\ i+1 \end{bmatrix} \begin{bmatrix} p_{i+1} \\ 0 \end{bmatrix} \times f_i
对旋转关节 i, 由旋转驱动器提供主动力矩 \tau_i \hat{F}_i, 其中 \tau_i = \tau_i^T \hat{F}_i; 对移动关节 i, 由直线驱动器提供主动力 \tau_i \hat{F}_i, 其中 \tau_i = \tau_i^T \hat{F}_i

• 几何雅可比矩阵: 关节速度 \rightarrow 末端速度, v = (v \ \omega)^T = J(\Phi) \dot{\Phi}
1) 向外迭代法: \omega_0 = 0, v_0 = 0 \rightarrow \omega_N, v_N \rightarrow \omega_N = \hat{g}_R^0 \omega_N, v_N = \hat{g}_R^0 v_N
2) 向内迭代法: 所有关节均为转动型时 (否则需下标), \begin{pmatrix} v_N \\ \omega_N \end{pmatrix} = \begin{pmatrix} \hat{Z}_1 \times (O_N - O_1) & \hat{Z}_2 \times (O_N - O_2) & \dots & \hat{Z}_{N-1} \times (O_N - O_{N-1}) & 0 \\ \hat{Z}_1 & \hat{Z}_2 & \dots & \hat{Z}_{N-1} & \hat{Z}_N \end{pmatrix} \hat{\theta}

关节 i	转动型	平动型
\begin{bmatrix} v_i \\ \omega_i \end{bmatrix}	\hat{\theta}_i \times (O_N - O_i)	d_i \hat{Z}_i
\begin{bmatrix} v_i \\ \omega_i \end{bmatrix}	\hat{\theta}_i \hat{Z}_i	d_i \hat{Z}_i

【例】对第 4 章例中的 RRR 机器人, 用向量构造法求雅可比矩阵。
Z_1 = \hat{g}_R^0 Z_1 = (0 \ 0 \ 1)^T, Z_2 = \hat{g}_R^1 Z_2 = (s_1 - c_1 \ 1)^T, Z_3 = \hat{g}_R^2 Z_3 = (s_1 - c_1 \ 1)^T, Z_4 = \hat{g}_R^3 Z_4 = (s_1 - c_1 \ 1)^T; O_1 = (0 \ 0 \ 0)^T, O_2 = O_1 + \hat{g}_R^1 O_2 = (L_1 - c_1 \ 1)^T, O_3 = O_2 + \hat{g}_R^2 O_3 = \begin{bmatrix} L_1 c_1 + L_2 c_2 \\ L_1 s_1 + L_2 s_2 \\ L_3 \end{bmatrix}, O_4 = O_3 + \hat{g}_R^3 O_4 = \begin{bmatrix} L_1 c_1 + L_2 c_2 + L_3 c_3 \\ L_1 s_1 + L_2 s_2 + L_3 s_3 \\ L_4 \end{bmatrix}

计算 \hat{Z}_1 \times (O_4 - O_1), \hat{Z}_2 \times (O_4 - O_2), \hat{Z}_3 \times (O_4 - O_3) \Rightarrow \begin{bmatrix} v_4 \\ \omega_4 \end{bmatrix} = \begin{bmatrix} \hat{Z}_1 \times (O_4 - O_1) & \hat{Z}_2 \times (O_4 - O_2) & \hat{Z}_3 \times (O_4 - O_3) & 0 \\ \hat{Z}_1 & \hat{Z}_2 & \hat{Z}_3 & \hat{Z}_4 \end{bmatrix} \begin{bmatrix} \theta_1 \\ \theta_2 \\ \theta_3 \\ \theta_4 \end{bmatrix} (本例 \hat{\theta}_4 = 0)

3) 向内侧迭代: \hat{n}_N = (f_N \ f_N \ f_N)^T, \hat{n}_N = (0 \ 0 \ 0)^T \Rightarrow \hat{f}_i, \hat{n}_i \rightarrow \tau = (\tau_1 \ \tau_2 \ \dots)^T = J^T(\Phi) (f_N \ f_N \ f_N)^T, 其中 J^T(\Phi) 为速度雅可比, 有 \hat{v}_N = (\omega_N \ u_N \ u_N)^T = J_u(\Phi) \Phi, J(\Phi) 的前 3 行 J_P(\Phi) = \hat{g}_R^0 J_P(\Phi)
4) 对运动学方程微分: \hat{v}_N = \hat{g}_R^0 \hat{v}_N = J_P(\Phi) \dot{\Phi}, 其中 J_P(\Phi) 为 J(\Phi) 的前 3 行
5) R \rightarrow \omega: \hat{R} \hat{R}^T = \omega^A \Rightarrow \begin{bmatrix} \omega_x & \omega_y & \omega_z \end{bmatrix} = \begin{bmatrix} r_{11} r_{11} + r_{22} r_{22} + r_{33} r_{33} \\ r_{11} r_{21} + r_{22} r_{22} + r_{33} r_{33} \\ r_{11} r_{31} + r_{22} r_{22} + r_{33} r_{33} \end{bmatrix} \Rightarrow J(\Phi) 的后 3 行 J_O(\Phi)

• 笛卡尔雅可比矩阵: \begin{pmatrix} v_N \\ \omega_N \end{pmatrix} = \begin{pmatrix} \hat{g}_R^0 \\ 0 \end{pmatrix} \begin{pmatrix} \hat{v}_N \\ \hat{\omega}_N \end{pmatrix} = \begin{pmatrix} \hat{g}_R^0 \\ 0 \end{pmatrix} J(\Phi) \dot{\Phi} = J(\Phi) \dot{\Phi}
• 奇异性: 各关节转速唯一解 \Phi = J^{-1}(\Phi) v_N, 使不可逆的对应位姿称为奇异位形。所有操作臂在工作空间边界均存在奇异位形, 大多数在工作空间也有奇异位形 (内点奇异位形通常是由于两个或以上的关节轴线共线引起的)。

当处于奇异位形时, 操作臂末端在笛卡尔空间中失去一个或多个自由度, 此时无论选择多大的关节速度, 末端在笛卡尔空间的某个方向上都不能运动。
• 分析雅可比矩阵: X = \begin{pmatrix} p \\ \psi \end{pmatrix} = J_u(\Phi) \Phi, 其中 P(\Phi) 为基座坐标系原点到末端执行器坐标系原点的一般向量, \Psi(\Phi) 为末端执行器坐标系相对于基座坐标系姿态的最小表示 (例如固定角表示或欧拉角表示)。

• 欧拉角速率 \rightarrow 刚体角速度: 以 z-y-x 欧拉角为例, \omega = (\omega_x \ \omega_y \ \omega_z)^T = a \hat{u}_2 + b \hat{u}_1 + c \hat{u}_3 = a \hat{Z} + b \hat{R}_z(\alpha) \hat{Y} + c \hat{R}_z(\alpha) \hat{R}_y(\beta) \hat{X} = B(\Psi) \dot{\Psi}
• J 和 \hat{P} 的关系统: J(\Phi) \Phi = \begin{pmatrix} v \\ \omega \end{pmatrix} = \begin{pmatrix} I & 0 \\ 0 & B(\Phi) \end{pmatrix} \begin{pmatrix} p \\ \psi \end{pmatrix} = \begin{pmatrix} I & 0 \\ 0 & B(\Phi) \end{pmatrix} J_u(\Phi) \Phi = J_A(\Phi)

J_A(\Phi) = \begin{pmatrix} I & 0 \\ 0 & B^{-1}(\Psi) \end{pmatrix} J(\Phi) = J_A(\Phi), 要求 B_A(\Psi) 可逆
• 力偶: 两个大小相等、方向相反且不共线的平行力组成的力系。力偶作用只改变刚体转动状态, 其转动效应可用力偶矩度量, (f, -f) 对 O 点的矩为 r_{OA} \times f + r_{OB} \times (-f) = r_{BA} \times f, 对刚体上任意点 O 点 f 不变, 可在刚体上任意转移。r_{BA} \times f 为作用于 A 的力 f 对 B 的矩; 作用于 A 的力 f \leftrightarrow 作用于 B 点的力 -f 附加 r_{BA} \times f

6 机器人轨迹规划
• 路径与轨迹: 路径是位姿的一个特定序列, 纯几何描述, 与时间无关; 轨迹与时间有关, 包含速度和时间信息
• 关节空间规划方法: 工具坐标系相对于工作台坐标系的期望位姿 \rightarrow 路径点; 每个路径点通过 IK \rightarrow 一组机器人的关节变量 \rightarrow 一系列光滑函数 \rightarrow 各个关节同步驱动

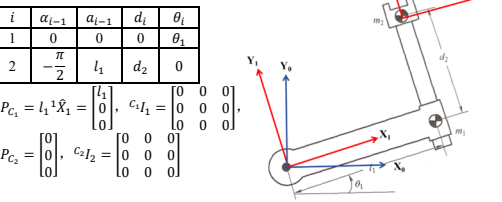
1) 三次多项式: (可指定角度、速度) \phi(t) = a_0 + a_1 t + a_2 t^2 + a_3 t^3, a_0 = \phi_0, a_1 = \dot{\phi}_0, a_2 = -[3\phi_0 - 3\phi_f + (2\phi_0 + \phi_f)t_f]/t_f^2, a_3 = [2\phi_0 - 2\phi_f + (\phi_0 + \phi_f)t_f]/t_f^3
2) 五次多项式: (加速度也可指定) \phi(t) = a_0 + a_1 t + a_2 t^2 + a_3 t^3 + a_4 t^4 + a_5 t^5
3) 考虑关节中间点的三次多项式轨迹: 根据工具坐标系的笛卡尔期望速度确定中间点的期望关节速度; 通常可利用在中间点上计算出的操作臂雅可比逆矩阵, 把中间点的笛卡尔期望速度“映射”为期望的关节速度。
没给出笛卡尔期望速度时确定中间点的期望关节速度方法 1: 直线斜率 \phi_{ij}, \phi_{jk}, 若 \phi_{ij} 与 \phi_{jk} 异号则取 \phi_j = 0, 若同号则取 \phi_j = (\phi_{ij} + \phi_{jk})/2

方法 2: 不直接指定中间点速度, 而保证相邻两段三次多项式加速度连续
4) 带

向外迭代	转动型关节	平动型关节
角速度 ⁱ⁺¹ $\dot{\omega}_{i+1}$	${}^{i+1}R^i\dot{\omega}_i + \dot{\theta}_{i+1} {}^{i+1}Z_{i+1}$	${}^{i+1}R^i\dot{\omega}_i$
角加速度 ⁱ⁺¹ $\ddot{\omega}_{i+1}$	${}^{i+1}R^i\ddot{\omega}_i + {}^{i+1}\dot{R}^i\dot{\omega}_i \times \dot{\theta}_{i+1} {}^{i+1}Z_{i+1} + \ddot{\theta}_{i+1} {}^{i+1}Z_{i+1}$	${}^{i+1}R^i\ddot{\omega}_i$
线加速度 ⁱ⁺¹ \ddot{v}_{i+1}	${}^{i+1}R^i[\ddot{v}_i + \dot{\omega}_i \times {}^iO_{i+1}] + \dot{\omega}_i \times (\dot{\omega}_i \times {}^iO_{i+1}) + \ddot{\theta}_{i+1} {}^{i+1}Z_{i+1}$	${}^{i+1}R^i[\ddot{v}_i + \dot{\omega}_i \times {}^iO_{i+1}] + \dot{\omega}_i \times (\dot{\omega}_i \times {}^iO_{i+1}) + \ddot{\theta}_{i+1} {}^{i+1}Z_{i+1}$
质心加速度 ⁱ \ddot{p}_{C_i} (质心)力 F_{C_i}	$\ddot{v}_i + \dot{\omega}_i \times {}^iP_{C_i} + \dot{\omega}_i \times (\dot{\omega}_i \times {}^iP_{C_i})$	$\ddot{v}_i + \dot{\omega}_i \times {}^iP_{C_i} + \dot{\omega}_i \times (\dot{\omega}_i \times {}^iP_{C_i})$
(质心)力矩 N_i	$C_{I_i}^T \dot{\omega}_i + {}^i\omega_i \times C_{I_i}^T \dot{\omega}_i$ ($N_i = {}^iC(N_i)$)	$C_{I_i}^T \dot{\omega}_i + {}^i\omega_i \times C_{I_i}^T \dot{\omega}_i$ ($N_i = {}^iC(N_i)$)
向内迭代	转动型关节	平动型关节
(连杆)力 f_i	${}^{i+1}R^{i+1}f_{i+1} + f_i$	${}^{i+1}R^{i+1}f_{i+1} + f_i$
(连杆)力矩 n_i	${}^iN_i + {}^{i+1}R^{i+1}n_{i+1} + {}^iP_{C_i} \times F_i + {}^iO_{i+1} \times {}^{i+1}f_{i+1}$	${}^iN_i + {}^{i+1}R^{i+1}n_{i+1} + {}^iP_{C_i} \times F_i + {}^iO_{i+1} \times {}^{i+1}f_{i+1}$
(关节)力矩/力 τ_i	${}^{i+1}f_i^T Z_i$	${}^{i+1}f_i^T Z_i$

注：一般情况下，基座不转， $\omega_0 = (0, 0, 0)^T$ ， $\dot{\omega}_0 = (0, 0, 0)^T$ ；
考虑重力时， $v_0 = (0, 0, 0)^T$ ，与重力加速度等大反向；
无力作用于末端时， $n_N = n_N = (0, 0, 0)^T$ 。

【例】考虑平面 RP 机器人，每个连杆的质量集中在连杆末端，分别为 m_1, m_2 ，用牛-欧-拉法推导动力学方程。



$f_3 = (0, 0, 0)^T$, ${}^3n_3 = (0, 0, 0)^T$, ${}^0\omega_0 = (0, 0, 0)^T$, ${}^0\dot{\omega}_0 = (0, 0, 0)^T$, ${}^0v_0 = gV_0 = (0, 0, 0)^T$
向外迭代: ${}^1\omega_1 = {}^0R^1\omega_0 + \dot{\theta}_1 {}^1Z_1$, ${}^1\dot{\omega}_1 = {}^0R^1\dot{\omega}_0 + {}^0R^1\omega_0 \times \dot{\theta}_1 {}^1Z_1 + \ddot{\theta}_1 {}^1Z_1$, ${}^1v_1 = {}^0R^1v_0 + {}^0\omega_0 \times {}^0O_1 + {}^0\omega_0 \times ({}^0\omega_0 \times {}^0O_1)$, ${}^1\dot{v}_1 = {}^1v_1 + {}^1\omega_1 \times {}^1P_{C_1} + {}^1\omega_1 \times ({}^1\omega_1 \times {}^1P_{C_1})$, ${}^1F_1 = m_1 {}^1\dot{v}_1$, ${}^1N_1 = C_{I_1}^T {}^1\dot{\omega}_1 + {}^1\omega_1 \times C_{I_1}^T {}^1\dot{\omega}_1$; ${}^2\omega_2 = {}^1R^2\omega_1$, ${}^2\dot{\omega}_2 = {}^1R^2\dot{\omega}_1 + {}^1\omega_1 \times {}^1O_2 + {}^1\omega_1 \times ({}^1\omega_1 \times {}^1O_2)$, ${}^2v_2 = {}^1R^2v_1 + {}^1\omega_1 \times {}^1P_{C_2} + {}^1\omega_1 \times ({}^1\omega_1 \times {}^1P_{C_2})$, ${}^2F_2 = m_2 {}^2\dot{v}_2$, ${}^2N_2 = C_{I_2}^T {}^2\dot{\omega}_2 + {}^2\omega_2 \times C_{I_2}^T {}^2\dot{\omega}_2$;
向内迭代: ${}^2f_2 = {}^3R^2f_3 + {}^2F_2$, ${}^2n_2 = {}^2N_2 + {}^3R^2n_3 + {}^2P_{C_2} \times {}^2F_2 + {}^2O_3 \times {}^3R^2f_3$, $\tau_2 = {}^2f_2^T {}^2Z_2$; ${}^1f_1 = {}^2R^1f_2 + {}^1F_1$, ${}^1n_1 = {}^1N_1 + {}^2R^1n_2 + {}^1P_{C_1} \times {}^1F_1 + {}^1O_2 \times {}^2R^1f_2$, $\tau_1 = {}^1f_1^T {}^1Z_1$;
• 机器人动力学方程的拉格朗日方法: 牛-欧-拉方法基于基本动力学方程(牛-欧方程、欧拉方程)以及连杆之间的约束力和力矩分析; 拉格朗日方法则基于能量项对系统变量以及时间的微分; 对于同一机器人，二者得到的运动方程是相同的。

1) 拉格朗日函数: $L(\Phi, \dot{\Phi}) = K(\Phi, \dot{\Phi}) - u(\Phi)$, $k(\Phi, \dot{\Phi})$ 为系统动能, $u(\Phi)$ 为势能

2) 机器人动力学方程: $\frac{d}{dt} \frac{\partial L}{\partial \dot{\Phi}} - \frac{\partial L}{\partial \Phi} = \xi$, 其中 ξ 是非保守力/力矩向量, 包括:

关节力/力矩向量 $\tau = [\tau_1 \dots \tau_n]^T$ 、摩擦力/力矩向量 $B\Phi$ 、末端执行器与环境接触而引起的关节负荷力/力矩向量 $J^T(F)$

若与环境无接触则 $F = 0$ $\Rightarrow \frac{d}{dt} \frac{\partial L}{\partial \dot{\Phi}} - \frac{\partial L}{\partial \Phi} = \tau - B\Phi$,
其中 $B = \text{diag}(b_1, \dots, b_n)$, b_i 是折算到关节 i 的粘滞摩擦参数, 若光滑则为 0

3) 动能计算: $k_i = \frac{1}{2} m_i v_{C_i}^T v_{C_i} + \frac{1}{2} \omega_i^T C_{I_i}^T \omega_i = \frac{1}{2} m_i v_{C_i}^T v_{C_i} + \frac{1}{2} \omega_i^T R^i R_i^T \omega_i$ ($\omega_i = {}^iR^0 \omega_0 = {}^iR^0 \dot{\theta}_i$), 整个机器人的动能 $k = \sum_{i=1}^n k_i$

$v_{C_i} = ({}^iP_{C_i})^T \dot{\Phi}$, $\omega_i = ({}^iJ_{C_i})^T \dot{\Phi}$ 表示第 i 个质心坐标系的雅可比矩阵 \rightarrow

总动能 $k(\Phi, \dot{\Phi}) = \frac{1}{2} \dot{\Phi}^T M(\Phi) \dot{\Phi}$ (M 为惯性矩阵, 为一对称正定矩阵)

$M = \sum_{i=1}^n [m_i ({}^iP_{C_i})^T J_{C_i}^T + ({}^iJ_{C_i})^T {}^0R^i C_{I_i} {}^0R_i^T J_{C_i}^T]$

4) 势能计算: ${}^0g = [0, -g, 0]^T$ (世界坐标系中的重力加速度向量), 机器人总势能 $u(\Phi) = \sum_{i=1}^n u_i = - \sum_{i=1}^n m_i g^T {}^0P_{C_i}$

$g_i(\Phi) = \frac{\partial u_i}{\partial \Phi_i} = - \sum_{j=1}^n m_j g^T \frac{\partial {}^0P_{C_j}}{\partial \Phi_i}$, $G(\Phi) = [g_1(\Phi) \ g_2(\Phi) \ \dots]^T$

5) 利用 (第一类) Christoffel 符号, 可导出完整的拉格朗日动力学方程:

$M(\Phi) \ddot{\Phi} + C(\Phi, \dot{\Phi}) \dot{\Phi} + B\Phi + G(\Phi) = \tau$, 矩阵 C 的第 (i, j) 项为 $c_{ij} = \sum_{k=1}^n c_{kij} \Phi_k$

(第一类) Christoffel 符号: $c_{kij} = \frac{1}{2} \frac{\partial m_{ij}}{\partial \Phi_k} + \frac{\partial m_{ik}}{\partial \Phi_j} - \frac{\partial m_{jk}}{\partial \Phi_i} = c_{jik}$

$m_{ij} - 2c_{ij} = -(m_{ij} - 2c_{ij}) \Rightarrow$ 矩阵 $M(\Phi) - 2C(\Phi, \dot{\Phi})$ 是反对称的

采用拉格朗日方法计算机器人动力学方程的基本步骤

- 1) 建系, 确定各旋转矩阵; 确定各连杆的雅可比矩阵 $J_{C_i}^{(0)}$ 和 $J_{C_i}^{(0)}$ (采用连杆速度的向外迭代法); 确定各惯性张量 C_{I_i}
- 2) 根据 $M = \sum [m_i ({}^iP_{C_i})^T J_{C_i}^T + ({}^iJ_{C_i})^T {}^0R^i C_{I_i} {}^0R_i^T J_{C_i}^T]$ 计算惯性矩阵 M
- 3) 根据 $c_{kij} = \frac{1}{2} \frac{\partial m_{ij}}{\partial \Phi_k} + \frac{\partial m_{ik}}{\partial \Phi_j} - \frac{\partial m_{jk}}{\partial \Phi_i} = c_{jik}$ 计算出 Christoffel 符号, 进而根据 $c_{ij} = \sum_{k=1}^n c_{kij} \Phi_k$ 计算得到矩阵 C
- 4) 根据 $g_i(\Phi) = \frac{\partial u_i}{\partial \Phi_i} = - \sum_{j=1}^n m_j g^T \frac{\partial {}^0P_{C_j}}{\partial \Phi_i}$ 得重力矢量 $G(\Phi) = [g_1(\Phi) \ g_2(\Phi) \ \dots]^T$
- 5) 代入 $M(\Phi) \ddot{\Phi} + C(\Phi, \dot{\Phi}) \dot{\Phi} + B\Phi + G(\Phi) = \tau$ 整理, 得到 $\tau_1, \tau_2, \dots, \tau_n$

【例】考虑平面 RR 机器人, 两连杆质心到各自关节轴的距离分别为 l_1, l_2 , 两连杆对穿过各自质心并指向纸外的轴线的转动惯量分别为 I_1, I_2 。

M : 由速度的向外迭代法得 ${}^1\omega_1, {}^1v_1, {}^2\omega_2, {}^2v_2$: $v_{C_1} = {}^1R^1 v_1 + {}^1\omega_1 \times {}^1P_{C_1}$

$\begin{bmatrix} -l_1 s_1 \dot{\theta}_1 \\ l_1 c_1 \dot{\theta}_1 \end{bmatrix} \Rightarrow J_{C_1}^{(1)} = \begin{bmatrix} -l_1 s_1 & 0 \\ l_1 c_1 & 0 \end{bmatrix}$, $\omega_1 = {}^1R^1 \omega_1 \Rightarrow J_{C_1}^{(1)} = \begin{bmatrix} 0 & 0 \\ 1 & 0 \end{bmatrix}$, $v_{C_2} = {}^2R^2 v_2 + {}^2\omega_2 \times {}^2P_{C_2} \Rightarrow J_{C_2}^{(2)} = \begin{bmatrix} 0 & 0 \\ 0 & 1 \end{bmatrix}$, $C_{I_1} = \begin{bmatrix} 0 & 0 \\ 0 & 1 \end{bmatrix}$, $C_{I_2} = \begin{bmatrix} 0 & 0 \\ 0 & 1 \end{bmatrix}$

计算 $m_1 ({}^1P_{C_1})^T J_{C_1}^{(1)} + ({}^1J_{C_1}^{(1)})^T {}^1R^1 C_{I_1} {}^1R_1^T J_{C_1}^{(1)} + m_2 ({}^2P_{C_2})^T J_{C_2}^{(2)} + ({}^2J_{C_2}^{(2)})^T {}^2R^2 C_{I_2} {}^2R_2^T J_{C_2}^{(2)}$, 求得 $M(\Phi) = \begin{bmatrix} I_1 + m_1 l_1^2 + l_2 + m_2 (a_1^2 + l_2^2 + 2a_1 l_2 c_2) & I_2 + m_2 (a_1 l_2 c_2) \\ I_2 + m_2 (a_1 l_2 c_2) & I_2 + m_2 l_2^2 \end{bmatrix}$

C : 算 $C_{111}, C_{112}, C_{121} = C_{211}, C_{122} = C_{212}, C_{221}, C_{222}$: $C_{11} = C_{111} \dot{\theta}_1 + C_{112} \dot{\theta}_2$, $C_{12} = C_{121} \dot{\theta}_1 + C_{122} \dot{\theta}_2$, $C_{21} = C_{211} \dot{\theta}_1 + C_{212} \dot{\theta}_2$, $C_{22} = C_{221} \dot{\theta}_1 + C_{222} \dot{\theta}_2 \Rightarrow C(\Phi, \dot{\Phi})$

G : ${}^0P_{C_1} = {}^1R^1 P_{C_1}$, ${}^0P_{C_2} = {}^2R^2 P_{C_2} + {}^1P_{C_1} + {}^2R^2 P_{C_2} \Rightarrow \frac{\partial {}^0P_{C_1}}{\partial \theta_1} = \frac{\partial {}^1P_{C_1}}{\partial \theta_1}$, $\frac{\partial {}^0P_{C_2}}{\partial \theta_1} = \frac{\partial {}^1P_{C_1}}{\partial \theta_1} + \frac{\partial {}^2P_{C_2}}{\partial \theta_1}$, $\frac{\partial {}^0P_{C_2}}{\partial \theta_2} = \frac{\partial {}^2P_{C_2}}{\partial \theta_2}$

$g_i(\Phi) = -m_i g^T \frac{\partial {}^0P_{C_i}}{\partial \Phi_i} = -m_2 g^T \frac{\partial {}^0P_{C_2}}{\partial \Phi_1} = -m_2 g^T \frac{\partial {}^1P_{C_1}}{\partial \Phi_1} = -m_2 g^T \frac{\partial {}^2P_{C_2}}{\partial \Phi_1} = G$

τ : 代入 $M(\Phi) \ddot{\Phi} + C(\Phi, \dot{\Phi}) \dot{\Phi} + B\Phi + G(\Phi) = \tau$, 得到 τ_1, τ_2

8) 机器人运动控制

• 独立关节控制: 视各关节电机为运动部件, 重点关注转速 ω_i , 由转速积分得 θ_i , 进而形成机械运动完成要求的作业: 各关节电机控制的目标是让转角跟踪期望曲线, 不使用电流反馈, 因为引入电流反馈会削弱关节的抗干扰能力

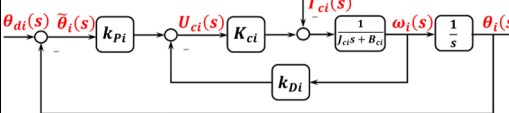
0) 电机及驱动器: 电枢电路方程 $U_{mi} = K_{e_i} \omega_i = R_{mi} i_{mi} + E_{mi} = R_{mi} i_{mi} + k_{e_i} \omega_{mi}$ 转矩公式 $T = C_{T_i} i_{mi} \rightarrow$ 转速控制 $\omega_{mi} = (k_{u_i} / k_{e_i}) U_{C_i} - (R_{mi} / k_{e_i}) i_{mi}$

摩擦: 分为静摩擦和动摩擦, 动摩擦分为干摩擦、边界摩擦和流体(粘性)摩擦

干摩擦: 电机力矩 \propto 干摩擦系数; 粘性摩擦: 电机力矩 \propto 粘性摩擦系数

减速器: 电机转向 $\theta_{mi} = \eta_i \theta_i$; 关节力矩 $T_{di} = \eta_i T_{mi}$; 电机转子侧的动力学方程 $J_{mi} \ddot{\omega}_{mi} = T_{ei} - T_{li} - m_{mi} \omega_{mi}$; 关节侧的动力学方程 $J_{di} \ddot{\omega}_i = T_{di} - T_{ci} - b_{di} \omega_i$

1) 考虑阶跃输入的 PD 控制: (有阶跃扰动 $T_{ci}(s)$ 时有静差)



闭环系统模型 $\theta_i(s) = \frac{k_{p_i} K_{c_i} \theta_{d_i}(s) - T_{c_i}(s)}{J_{c_i} s^2 + (B_{c_i} + k_{p_i} K_{c_i}) s + k_{p_i} K_{c_i}}$

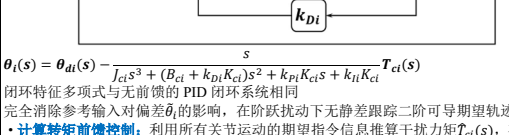
闭环特征多项式 $s^2 + (B_{c_i} + k_{p_i} K_{c_i})/J_{c_i} s + k_{p_i} K_{c_i}/J_{c_i} = s^2 + 2\zeta\omega_0 s + \omega_0^2$ ω_0 越高快速性越好, 但过大会使 U_{ci} 饱和而呈现非线性

2) 考虑阶跃输入的 PID 控制: (将上图 K_{c_i} 改成 $k_{p_i} + k_{i_i}/s$, 有阶跃扰动也无静差)

闭环系统模型 $\theta_i(s) = \frac{(k_{p_i} s + k_{i_i}) K_{c_i} \theta_{d_i}(s) - s T_{c_i}(s)}{J_{c_i} s^3 + (B_{c_i} + k_{p_i} K_{c_i}) s^2 + k_{p_i} K_{c_i} s + k_{i_i} K_{c_i}}$

闭环稳定的充要条件 (劳斯判据): $k_{p_i}, k_{i_i}, k_{D_i} > 0$ 且 $(B_{c_i} + k_{p_i} K_{c_i}) k_{p_i} > J_{c_i} k_{i_i}$

3) 考虑二阶可导输入的 PID 控制: (通过前馈引入期望速度的 1、2 阶导数信息)



$\theta_i(s) = \theta_{d_i}(s) - \frac{s}{J_{c_i} s^3 + (B_{c_i} + k_{p_i} K_{c_i}) s^2 + k_{p_i} K_{c_i} s + k_{i_i} K_{c_i}} T_{c_i}(s)$

闭环特征多项式与无前馈的 PID 闭环系统相同

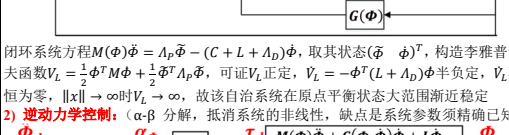
完全消除参考输入对偏差 δ_i 的影响, 在阶跃扰动下无静差跟踪二阶可导期望轨迹

• 计算转矩前馈控制: 利用所有关节运动的期望指令信息推算干扰力矩 $T_{ci}(s)$, 在带前馈的 PID 控制中引入 $T_{ci}(s)$ 处) 计算转矩前馈 $T_{ci}(s)/K_{c_i}$

• 集中控制: 视各关节电机为出力部件, 关注转矩 T_{mi} , 由关节电机的转矩驱动机器人运动; 各关节电机控制的目标是让电机电流跟踪期望电流, 离不开电流反馈

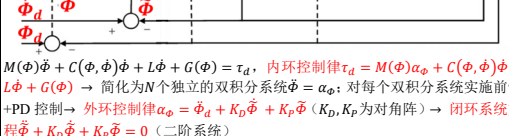
0) 被控对象模型: 电流反馈律 $U_{ci} = \pi_{pi}(V_{ci} - i_{mi})$ (V_{ci} 为期望电流) \rightarrow i 关节电机对机器人的驱动转矩 $\tau_i = \eta_i T_{ei} = \eta_i C_{T_i} V_{ci} - \eta_i^2 C_{T_i} k_{e_i} / (R_{mi} \pi_{pi} + R_{mi}) \cdot \delta_i \rightarrow$ 对全部关节电机有 $\tau = \tau_d - B_e \Phi$ (B_e 为反对称阵), 与动力学方程 $M(\Phi) \ddot{\Phi} + C(\Phi, \dot{\Phi}) \dot{\Phi} + B\Phi + G(\Phi) = \tau$ 合并 \rightarrow 被控对象模型 $M(\Phi) \ddot{\Phi} + C(\Phi, \dot{\Phi}) \dot{\Phi} + L\Phi + G(\Phi) = \tau_d$ ($L = B + B_e$ 为正定对称阵), 需设计计算 τ_d 的算法使 Φ 跟踪 Φ_d

1) 重力补偿 PD 控制: 控制律 $\tau_d = A_p(\Phi_d - \Phi) - A_D \dot{\Phi} + G(\Phi)$ (控制比例系数矩阵 A_p 和微分系数矩阵 A_D 均为 N 阶正定阵) 可使 Φ 收敛于定常的 Φ_d



闭环系统方程 $M(\Phi) \ddot{\Phi} = A_p \ddot{\Phi} - (C + L + A_D) \dot{\Phi}$, 取其状态 $(\ddot{\Phi} \ \dot{\Phi} \ \Phi)^T$, 构造李雅普诺夫函数 $V_L = \frac{1}{2} \dot{\Phi}^T M \dot{\Phi} + \frac{1}{2} \ddot{\Phi}^T A_p \ddot{\Phi}$, 可证 V_L 正定, $V_L = -\dot{\Phi}^T (L + A_D) \dot{\Phi}$ 半负定, V_L 不恒为零, $\| \dot{\Phi} \| \rightarrow \infty$ 时 $V_L \rightarrow \infty$, 故该自治系统在原点平衡状态大范围渐近稳定

2) 逆动力学控制: (α, β 分解, 抵消系统的非线性, 缺点是系统参数须精确已知)



$M(\Phi) \ddot{\Phi} + C(\Phi, \dot{\Phi}) \dot{\Phi} + L\Phi + G(\Phi) = \tau_d$, 内环控制律 $\tau_d = M(\Phi) \alpha_\Phi + C(\Phi, \dot{\Phi}) \dot{\Phi} + L\Phi + G(\Phi) \rightarrow$ 简化为 N 个独立的双积分系统 $\ddot{\Phi} = \alpha_\Phi$; 对每个双积分系统实施前馈+PD 控制 \rightarrow 外环控制律 $\alpha_\Phi = \ddot{\Phi}_d + K_D \dot{\Phi} + K_P \ddot{\Phi}$ (K_D, K_P 为对角阵) \rightarrow 闭环系统方程 $\ddot{\Phi} + K_D \dot{\Phi} + K_P \ddot{\Phi} = 0$ (二阶系统)

【例】单连杆转节机器人的动力学方程为 $2\ddot{\theta} + \dot{\theta} + 7\cos\theta - 3\sin\theta = \tau$, 关节角期望轨迹及其 1、2 阶导为 $\theta_d, \dot{\theta}_d, \ddot{\theta}_d$, 设计控制器实现渐近跟踪, 使闭环极点均为 -10 。令内环控制律 $\tau = 2\ddot{\theta} + \dot{\theta} + 7\cos\theta - 3\sin\theta$, 则模型简化为 $\ddot{\theta} = \tau'$

令外环控制律 $\tau' = \ddot{\theta}_d + K_D(\dot{\theta}_d - \dot{\theta}) + K_P(\ddot{\theta}_d - \ddot{\theta})$, 代入得 $\ddot{\theta} + K_D \dot{\theta} + K_P \ddot{\theta} = 0$

闭环特征多项式为 $s^2 + K_P s + K_P = 0$, $K_P = 100, K_D = 20$

3) 鲁棒控制: $M(\Phi) \ddot{\Phi} + C(\Phi, \dot{\Phi}) \dot{\Phi} + L\Phi + G(\Phi) = \tau_d$, 内环控制律 $\tau_d = \ddot{M}(\Phi) \alpha_\Phi + \dot{C}(\Phi, \dot{\Phi}) \dot{\Phi} + L\Phi + G(\Phi) \rightarrow$ 系统化为 $\ddot{\Phi} = \alpha_\Phi - M^{-1}(\ddot{M} \alpha_\Phi + \dot{C} \dot{\Phi} + L\dot{\Phi} + \dot{G}) = \alpha_\Phi - \Delta$, 其中 $M = M - \ddot{M}$, Δ 代表不确定性; 外环控制律 $\alpha_\Phi = \ddot{\Phi}_d + K_D \dot{\Phi} + K_P \ddot{\Phi} + \ddot{\Delta} \rightarrow$ 闭环系统方程 $\ddot{\Phi} = -K_D \dot{\Phi} - K_P \ddot{\Phi} + (\Delta - \ddot{\Delta})$, 需设计 $\ddot{\Delta} = B_\Delta(\ddot{\Phi}, \dot{\Phi})$ 以应对 Δ

4) 自适应控制: 被控对象模型采用参数线性化形式 $\tau_d = M(\Phi) \ddot{\Phi} + C(\Phi, \dot{\Phi}) \dot{\Phi} + L\Phi + G(\Phi) = Y(\Phi, \dot{\Phi}, \ddot{\Phi}) \Phi$ (提取出不变的参数构成 Y , 变量构成矩阵 Φ), 内环控制律 $\tau_d = \ddot{M}(\Phi) \alpha_\Phi + \dot{C}(\Phi, \dot{\Phi}) \dot{\Phi} + L\Phi + G(\Phi) = Y(\Phi, \dot{\Phi}, \ddot{\Phi}) \Phi$, 外环控制律 $\alpha_\Phi = \ddot{\Phi}_d + K_D \dot{\Phi} + K_P \ddot{\Phi} \rightarrow \ddot{\Phi} = -K_D \dot{\Phi} - K_P \ddot{\Phi} + M^{-1}(\Phi) Y(\Phi, \dot{\Phi}, \ddot{\Phi}) \Phi$

令 $\Phi = \begin{bmatrix} \ddot{\Phi} \\ \dot{\Phi} \end{bmatrix}$, 得状态方程 $\dot{\Phi} = \begin{bmatrix} -K_P & -K_D \\ 0 & 1 \end{bmatrix} \Phi + \begin{bmatrix} 0 \\ 1 \end{bmatrix} M^{-1}(\Phi) Y(\Phi, \dot{\Phi}, \ddot{\Phi}) \Phi = A\Phi + D\Phi$

需设计 K_P, K_D 使得 A 的特征值具有负实部, 给定 2 个正定阵 Q 和 Γ , 则存在正定阵 P_L 满足李雅普诺夫方程 $A^T P_L + P_L A = -Q$, 设计参数更新律 $\dot{P} = \Gamma^{-1} D^T P_L \Phi$, 构造正定的李雅普诺夫函数 $V_L = \Phi^T P_L \Phi + \Phi^T \Gamma \Phi$, 可计算得 $V_L = -\Phi^T Q \Phi$ 半负定 $\rightarrow \Phi$ 渐近跟踪 $\ddot{\Phi}_d$ ($\lim_{t \rightarrow \infty} \Phi = 0$), 参数估计误差有界

【例】对于 $\begin{bmatrix} m_1 l_1^2 + m_2 (a_1^2 + l_2^2 + 2a_1 l_2 c_2) + I_1 + I_2 & m_2 (l_2^2 + a_1 l_2 c_2) + I_2 \\ m_2 (l_2^2 + a_1 l_2 c_2) + I_2 & m_2 l_2^2 + I_2 \end{bmatrix} \begin{bmatrix} \ddot{\theta}_1 \\ \ddot{\theta}_2 \end{bmatrix} + \begin{bmatrix} m_2 a_1 l_2 s_2 \dot{\theta}_1 \\ 0 \end{bmatrix} + \begin{bmatrix} (m_1 + m_2 a_1^2 g_1 + m_2 l_2 g_1 c_2) \\ m_2 l_2 g_2 c_2 \end{bmatrix} = \begin{bmatrix} \tau_1 \\ \tau_2 \end{bmatrix}$, 则上式

令 $\Psi_1 = m_1 l_1^2 + m_2 (a_1^2 + l_2^2 + 2a_1 l_2 c_2) + I_1 + I_2$, $\Psi_2 = m_2 a_1 l_2$, $\Psi_3 = m_2 l_2^2 + I_2$, $\Psi_4 = m_2 a_1 l_2 s_2 \dot{\theta}_1$, $\Psi_5 = m_2 l_2 g_2 c_2$, 则上式

$\begin{bmatrix} \Psi_1 & \Psi_2 & \Psi_3 & \Psi_4 & \Psi_5 \\ 0 & \Psi_2 & 0 & \Psi_3 & 0 \end{bmatrix} \begin{bmatrix} \ddot{\theta}_1 \\ \ddot{\theta}_2 \end{bmatrix} + \begin{bmatrix} \Psi_4 & \Psi_5 \\ 0 & 0 \end{bmatrix} \begin{bmatrix} \dot{\theta}_1 \\ \dot{\theta}_2 \end{bmatrix} + \begin{bmatrix} \Psi_5 & 0 \\ 0 & 0 \end{bmatrix} \begin{bmatrix} \theta_1 \\ \theta_2 \end{bmatrix} = \begin{bmatrix} \tau_1 \\ \tau_2 \end{bmatrix}$

9 机器人力控

• 力位混合控制: 1) 坐标系和约束: 可行运动空间 V_k 和约束空间 V_c 互为正交补空间, $V_c = V_k^\perp \subset \mathbb{R}^n$ 。无重力和摩擦力的准静态下, 末端执行器所作功 $dW = F_d^T d\mathbf{p}_k = 0, \forall \mathbf{p}_k \in V_k \rightarrow$ 静力学中 $F_{d_i} = 0, F_{c_i} \in V_{c_i}$; 几何约束下工具末端在期望空间内不可运动 $d\mathbf{p}_k = 0 \rightarrow$ 可在 V_k 施加任意大小力和力矩 \rightarrow 静力学中人工约束 $F_c \in V_c$ 可取任意值; 将无穷小的位移转换为速度 \rightarrow 运动学中自然约束 $\dot{\mathbf{p}}_k = 0, \dot{\mathbf{p}}_k \in V_c$, 运动学中人工约束 $\dot{\mathbf{p}}_k \in V_c$ 可取任意值。这些约束为森规则